

K⁺对Fe(Ⅵ)生成的稳定促进作用和机理研究

张彦平,许国仁*,李圭白

(哈尔滨工业大学市政环境工程学院,哈尔滨 150090)

摘要:研究了在生成高铁酸盐反应过程中K⁺对Fe(Ⅵ)的稳定促进作用和机理。结果表明,当反应温度大于50℃时,K⁺比Na⁺更有利于高铁酸盐的生成。K⁺促进高铁酸盐溶液生成的最佳反应温度为65℃。在生成高铁酸盐反应过程中,增加K⁺浓度能提高高铁酸盐的产率,并且随着硝酸铁投加量的增加,K⁺影响显著。在硝酸铁投加量为85 g/L时,采用4.4 mol/L KOH制备的Fe(Ⅵ)浓度为0.05 mol/L;加入2 mol/L K⁺后,Fe(Ⅵ)浓度增加到0.15 mol/L。K⁺对高铁酸盐溶液生成浓度的影响在硝酸铁投加量大于75 g/L,反应温度低于55℃,ClO⁻浓度低于1.16 mol/L时较为显著。K⁺在一定程度上可替代部分碱度,降低OH⁻用量。在反应过程中K⁺能包裹在FeO₄²⁻周围,减少Fe³⁺与FeO₄²⁻接触,从而减缓Fe³⁺对FeO₄²⁻的催化分解作用;同时K⁺能与FeO₄²⁻生成K₂FeO₄晶体沉淀析出,降低溶液中FeO₄²⁻浓度,Fe(Ⅵ)分解速率减缓,稳定性增加,Fe(Ⅵ)生成浓度增加。

关键词:Fe(Ⅵ);高铁酸盐;K⁺;氧化剂

中图分类号:X703.5 文献标识码:A 文章编号:0250-3301(2008)03-0677-06

Mechanism and Promotion Effect of K⁺ on Yield of Fe(Ⅵ)

ZHANG Yan-ping, XU Guo-ren, LI Gui-bai

(School of Municipal and Environmental Engineering, Harbin Institute of Technology, Harbin 150090, China)

Abstract: The mechanism and promotion effects of K⁺ on the yield of Fe(Ⅵ) were studied during the reaction of forming ferrate. The experiment results showed that K⁺ is far better than Na⁺ for the preparation of Fe(Ⅵ) at temperatures higher than 50℃. The optimal temperature for the preparation of Fe(Ⅵ) with K⁺ is 65℃. During the reaction, the yield of ferrate increases with the concentration of K⁺, and the promotion effect of K⁺ is obviously with ferric nitrate dosage increase. The Fe(Ⅵ) concentration prepared with 4.4 mol/L KOH is 0.05 mol/L at 85 g/L ferric nitrate; and which achieves 0.15 mol/L when added 2 mol/L K⁺. The promotion effect of K⁺ on the yield of ferrate is remarkable when ferric nitrate dosage is higher than 75 g/L, reaction temperature is below 55℃ and ClO⁻ concentration is lower than 1.16 mol/L. The K⁺ can substitute for partly alkalinity and reduce the concentration of OH⁻ in the reaction solution. During the reaction, the K⁺ can enwrap around FeO₄²⁻ that can reduce the contact between Fe³⁺ and FeO₄²⁻, and decrease the catalysis effect of Fe³⁺ on FeO₄²⁻. At the same time, K⁺ can react with FeO₄²⁻ to form solid K₂FeO₄, which will lower the Fe(Ⅵ) concentration, decrease the decomposition rate of Fe(Ⅵ), enhance the stability and improve the yield of Fe(Ⅵ).

Key words: Fe(Ⅵ); ferrate; potassium ion; oxidant

高铁酸钾是一种集氧化、吸附、絮凝、助凝、杀菌、除臭等为一体的新型高效多功能绿色水处理药剂。高铁酸钾的氧化能力很强并具有选择性,在酸性条件下的氧化还原电位为2.20 V,高于O₃(E⁰=2.076 V),是水处理中氧化能力最强的氧化剂^[1~4]。在水和废水处理中Fe(Ⅵ)能有效的去除水中细菌^[5]、藻类^[6~8]、含氮或硫的化合物^[9]、有毒重金属^[10]、非金属^[11,12]和一些难降解有机污染物质^[13~19]。同时,Fe(Ⅵ)的还原产物为Fe(Ⅲ),Fe(Ⅲ)具有絮凝、吸附作用,因此高铁酸钾在水处理中起到氧化和混凝的双重功效,并且不引起二次环境污染。

高铁酸盐的合成多采用次氯酸盐氧化法和电解法,所用碱性化学物质主要为NaOH和KOH。多数研究者^[20~24]认为采用NaOH制备的高铁酸钾固体纯度高于KOH。但采用KOH合成高铁酸钾时,能提高K₂FeO₄的产量,绕过中间产物Na₂FeO₄的生成,减少

制备时间。He等^[25]采用KOH为电解液,在温度为65℃时,一步合成高铁酸钾固体,其纯度为95.3%~98.1%,产量为49 g/L,效果远远好于以NaOH为电解液的效果。由于高铁酸钾固体的制备工艺包括反应和提纯2部分,KOH对高铁酸钾产量的促进作用是在反应过程中完成的,因此本实验不进行高铁酸钾固体提纯,研究了K⁺与反应液中Fe(Ⅵ)生成浓度之间的关系,避免了因提纯造成的高铁酸钾损失。实验采用化学氧化法探讨了K⁺在各种因素下对反应液中Fe(Ⅵ)生成浓度的影响,并进行了相关机理分析。

1 材料与方法

1.1 实验仪器和试剂

收稿日期:2007-05-24;修订日期:2007-09-14

作者简介:张彦平(1978~),女,博士研究生,主要研究方向为水处理及水处理药剂技术,E-mail:zypit@163.com

* 通讯联系人,E-mail:xgr@hit.edu.cn

SH-5 型加热磁力搅拌器(北京金北德工贸有限公司);752 型紫外可见分光光度计(上海光谱仪器有限公司)。 $\text{NaClO}[\omega(\text{Cl})=8.2\%]$ 、 $\text{Fe}(\text{NO}_3)_3 \cdot 9\text{H}_2\text{O}$ 、 KOH 、 NaOH 、 KNO_3 均为分析纯。实验用水为蒸馏水。

1.2 实验方法

高铁酸盐溶液的制备方法:取 20 mL NaClO 溶液置于 100 mL 烧杯中,加入 6.75 g KOH 固体,溶解后于磁力搅拌器上快速搅拌,65℃水浴,缓缓加入硝酸铁固体,反应 60 min 后,得到高铁酸盐溶液。将该溶液迅速冰水冷却 10 min,稀释至 100 mL, G_4 砂芯漏斗过滤,于 510 nm 处测吸光度值,由标准曲线计算出 $\text{Fe}(\text{VI})$ 浓度。

实验对比了 4.4 mol/L KOH 、4.4 mol/L $\text{KOH} + 2$ mol/L KNO_3 在不同反应条件下对反应液中 $\text{Fe}(\text{VI})$ 生成浓度的影响,并研究了相同 OH^- 浓度时 K^+ 对 $\text{Fe}(\text{VI})$ 生成的影响。在研究 K^+ 对 $\text{Fe}(\text{VI})$ 产量促进作用的机理分析时,将反应后的 $\text{Fe}(\text{VI})$ 溶液迅速置于 45 mL 离心管中,冰水冷却 10 min,于 4 000 r/min 离心 5 min,测定离心液和离心固体体积,并将离心液和离心固体分别定容至 100 mL 测定 $\text{Fe}(\text{VI})$ 浓度。

2 结果与讨论

2.1 Na^+ 和 K^+ 对 $\text{Fe}(\text{VI})$ 浓度的影响

实验采用 NaOH 和 KOH 在 OH^- 浓度为 5.3 mol/L, 硝酸铁投加量为 50 g/L 时, 对比了 Na^+ 和 K^+ 在不同反应温度下对反应液中 $\text{Fe}(\text{VI})$ 浓度的影响,结果如图 1 所示。从图 1 可以看出,当反应温度低于 50℃ 时, Na^+ 对 $\text{Fe}(\text{VI})$ 生成的促进作用略高于 K^+ 。而当反应温度大于 50℃ 后, K^+ 对 $\text{Fe}(\text{VI})$ 生成的促进作用远高于 Na^+ 。反应温度为 65℃ 时, K^+ 反应液中 $\text{Fe}(\text{VI})$ 生成速率最大, 反应液的颜色在硝酸铁加入后几秒钟之内就变为深紫色。此时, K^+ 反应液中 $\text{Fe}(\text{VI})$ 浓度为 0.07 mol/L, 是 Na^+ 反应液中 $\text{Fe}(\text{VI})$ 浓度的 1.75 倍, 并且是 Na^+ 在最佳反应温度(45℃)时 $\text{Fe}(\text{VI})$ 浓度的 1.2 倍。当反应温度升高到 85℃ 时, 2 种反应液的颜色逐渐由深紫色变为黄褐色, 溶液中 $\text{Fe}(\text{VI})$ 浓度急剧降低。综上所述, 反应温度为 65℃ 时, K^+ 比 Na^+ 更有利于 $\text{Fe}(\text{VI})$ 的生成反应。

2.2 K^+ 浓度对 $\text{Fe}(\text{VI})$ 浓度的影响

为了考察 K^+ 在 $\text{Fe}(\text{VI})$ 生成过程中的作用,向反应液中投加不同量的 KNO_3 , 改变反应液中 K^+ 浓度,结果如图 2 所示。从图 2 可以看出,增加反应液中 K^+ 浓度能提高 $\text{Fe}(\text{VI})$ 的生成浓度,并且随着硝酸铁

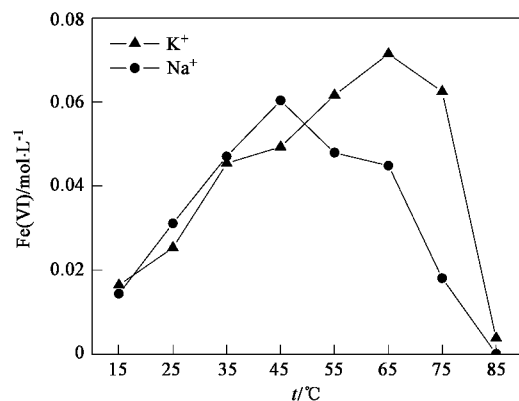


图 1 Na^+ 和 K^+ 在不同反应温度下对 $\text{Fe}(\text{VI})$ 浓度的影响

Fig. 1 Effects of Na^+ and K^+ on the concentration of $\text{Fe}(\text{VI})$ at different temperature

投加量的增加, K^+ 影响显著。当硝酸铁投加量为 50 g/L、75 g/L 时,单独采用 KOH 制备的 $\text{Fe}(\text{VI})$ 浓度分别为 0.11 mol/L、0.10 mol/L; 当 KNO_3 投加量为 1 mol/L 时, 对应 $\text{Fe}(\text{VI})$ 浓度分别增加到 0.12 mol/L、0.15 mol/L; 当 KNO_3 投加量进一步增加时, $\text{Fe}(\text{VI})$ 浓度增加缓慢。当硝酸铁投加量为 87.5 g/L、100 g/L 时,单独采用 KOH 制备的 $\text{Fe}(\text{VI})$ 浓度较低,甚至完全分解, $\text{Fe}(\text{VI})$ 浓度分别为 0.05 mol/L 和 0 mol/L, 这是由于过量的 Fe^{3+} 对 $\text{Fe}(\text{VI})$ 的催化分解作用造成的;当加入 K^+ 后, $\text{Fe}(\text{VI})$ 浓度显著增加, KNO_3 浓度为 2 mol/L 时, $\text{Fe}(\text{VI})$ 浓度达到最佳值, 分别为 0.15 mol/L 和 0.06 mol/L。实验结果进一步说明了 K^+ 对 $\text{Fe}(\text{VI})$ 的生成具有促进作用。

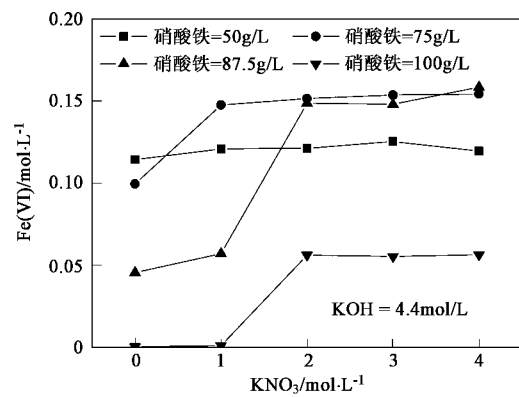


图 2 KNO_3 投加量对 $\text{Fe}(\text{VI})$ 浓度的影响

Fig. 2 Effect of KNO_3 dosage on the concentration of $\text{Fe}(\text{VI})$

2.3 对比 K^+ 和 OH^- 对 $\text{Fe}(\text{VI})$ 浓度的影响

在高铁酸盐生成过程中,增加 OH^- 浓度能促进 $\text{Fe}(\text{VI})$ 的稳定性, 提高 $\text{Fe}(\text{VI})$ 的生成浓度, 因而

OH⁻浓度是影响Fe(Ⅵ)产量的一个重要因素,实验对比了K⁺和OH⁻对Fe(Ⅵ)浓度的影响。在初始KOH(1)浓度为4.4 mol/L时,分别向反应液中加入相同物质量的KOH和KNO₃,研究相同K⁺浓度时,单独KOH和KOH(1)+KNO₃对反应液中Fe(Ⅵ)浓度的影响,结果如图3所示。从图3可以看出,初始KOH(1)浓度为4.4 mol/L时,Fe(Ⅵ)生成浓度为0.046 mol/L,此后随着KOH和KNO₃浓度的增加,Fe(Ⅵ)浓度均增加。单独采用KOH时,最佳KOH浓度为5.4 mol/L,对应Fe(Ⅵ)浓度为0.161 mol/L。当采用KOH(1)+KNO₃时,最佳K⁺浓度为6.4 mol/L,对应Fe(Ⅵ)浓度为0.15 mol/L,其浓度略低于单独KOH反应液。实验结果表明,增加K⁺浓度能在一定程度上提高Fe(Ⅵ)的生成浓度。由于向反应液中增加K⁺后,K⁺可能与FeO₄²⁻相互作用生成晶体沉淀析出,降低溶液中Fe(Ⅵ)浓度,减缓Fe(Ⅵ)的分解速率,从而有利于Fe(Ⅵ)的生成。因此K⁺在反应液中起到了与OH⁻相同的作用,从而可以代替部分OH⁻,降低OH⁻的用量。

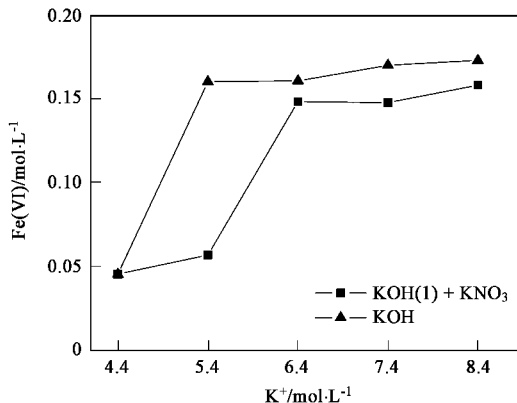


图3 KOH 和 KOH(1) + KNO₃ 对 Fe(Ⅵ) 浓度的影响

Fig. 3 Effects of KOH and KOH(1) + KNO₃ on the concentration of Fe(Ⅵ)

2.4 K⁺在不同反应温度下对Fe(Ⅵ)浓度的影响

实验研究了不同反应温度下KOH和KOH+KNO₃对Fe(Ⅵ)生成浓度的影响,结果见图4。从图4可以看出,2种条件下Fe(Ⅵ)的浓度均随着反应温度的升高而增加;当反应温度小于55℃时,K⁺对Fe(Ⅵ)生成浓度的促进作用影响明显;当反应温度大于55℃后,K⁺对Fe(Ⅵ)的浓度影响不明显。这可能是由于在较高反应温度时,Fe(Ⅵ)的生成速率较快,在一定硝酸铁投加量下,2种反应体系均达到了化学反应平衡,铁盐转化率均为80%。

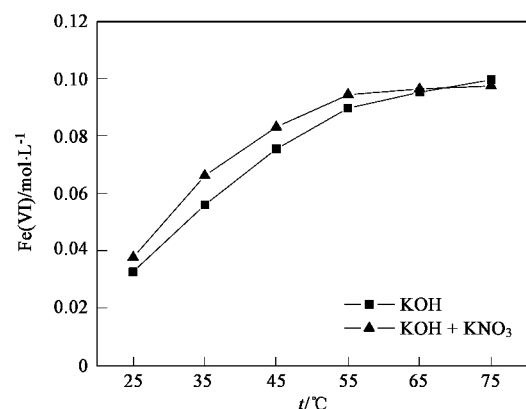


图4 K⁺在不同温度下对Fe(Ⅵ)浓度的影响

Fig. 4 Effect of K⁺ on the concentration of Fe(Ⅵ) at different reaction temperature

2.5 K⁺在不同反应时间下对Fe(Ⅵ)浓度的影响

反应时间是高铁酸盐生成的一个重要影响参数。从图5可以看出,采用KOH时,反应20 min,Fe(Ⅵ)浓度达到最大值,为0.123 mol/L。随着反应时间进一步延长,Fe(Ⅵ)以分解反应为主,60 min后所生成的Fe(Ⅵ)完全分解。向KOH反应液中加入KNO₃后,相同反应时间内Fe(Ⅵ)浓度均高于KOH反应液,20 min时Fe(Ⅵ)浓度为0.15 mol/L,当反应时间大于最佳值时Fe(Ⅵ)的分解速率明显减缓,60 min时Fe(Ⅵ)浓度为0.085 mol/L。实验结果说明了增加反应液中K⁺浓度能促进Fe(Ⅵ)的生成速率,同时也能减缓Fe(Ⅵ)的分解速率,从而提高了Fe(Ⅵ)产量。

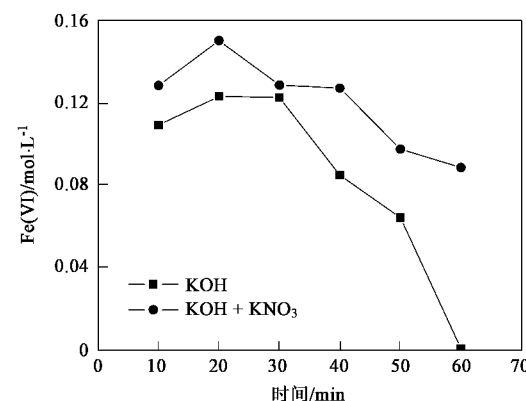


图5 K⁺在不同反应时间下对Fe(Ⅵ)浓度的影响

Fig. 5 Effect of K⁺ on the concentration of Fe(Ⅵ) at different reaction time

2.6 K⁺在不同ClO⁻浓度下对Fe(Ⅵ)浓度的影响

ClO⁻是化学氧化法制备Fe(Ⅵ)的氧化剂,其浓

度是影响Fe(VI)产率的重要因素。实验对比了不同 ClO^- 浓度下, KOH 和 $\text{KOH} + \text{KNO}_3$ 对Fe(VI)生成浓度的影响, 如图6所示。从图6可以看出, 随着 ClO^- 浓度的增加, Fe(VI)浓度均逐渐增加。当 ClO^- 浓度较低时, K^+ 对Fe(VI)生成浓度的促进作用影响明显。当 ClO^- 浓度大于1.16 mol/L时, 由于 ClO^- 的强氧化作用, 其对Fe(VI)的稳定促进作用影响显著, 使得 K^+ 对Fe(VI)浓度的影响不明显。

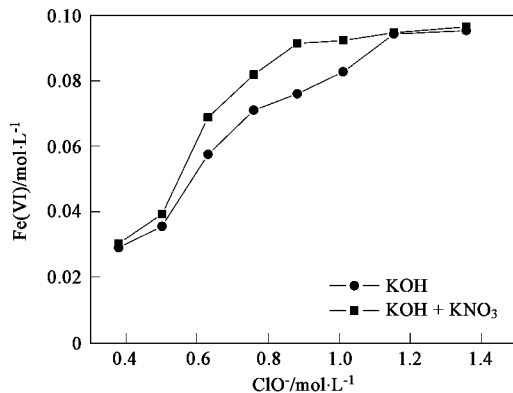


图6 K^+ 在不同 ClO^- 浓度下对Fe(VI)浓度的影响

Fig. 6 Effect of K^+ on the concentration of $\text{Fe}(\text{VI})$ at different ClO^- concentration

2.7 K^+ 在不同硝酸铁投加量下对Fe(VI)浓度的影响

以上实验研究表明, 在较高反应温度和 ClO^- 浓度时, 受硝酸铁投加量的限制, K^+ 对Fe(VI)浓度影响不明显。因此, 研究了不同硝酸铁投加量对KOH和 $\text{KOH} + \text{KNO}_3$ 生成Fe(VI)的影响, 如图7所示。从图7可以看出, 当硝酸铁投加量小于75 g/L时, K^+ 对Fe(VI)浓度影响不明显, 这是由于在该投加量范围内, 2种反应液均能保证Fe(VI)的生成和稳定性, Fe(VI)浓度主要受硝酸铁投加量的影响。当硝酸铁投加量大于75 g/L时, 由于过量的 Fe^{3+} 对Fe(VI)有催化分解作用, Fe(VI)的分解速率随着硝酸铁投加量的增加而增加, 但其随着反应液中 K^+ 浓度的增加而减缓。 $\text{KOH} + \text{KNO}_3$ 反应液的最佳硝酸铁投加量为87.5 g/L, 高于单独KOH反应液, 为75 g/L。

2.8 K^+ 对Fe(VI)生成促进作用的机理分析

以上实验结果表明, 增加反应液中 K^+ 浓度能促进Fe(VI)的生成速率, 减缓Fe(VI)分解速率, 提高Fe(VI)的生成浓度。这可能是由于以下原因造成的。

首先, K_2FeO_4 溶解度较低, K^+ 可能与 FeO_4^{2-} 相互作用, 生成晶体沉淀析出, 从而降低溶液中Fe(VI)

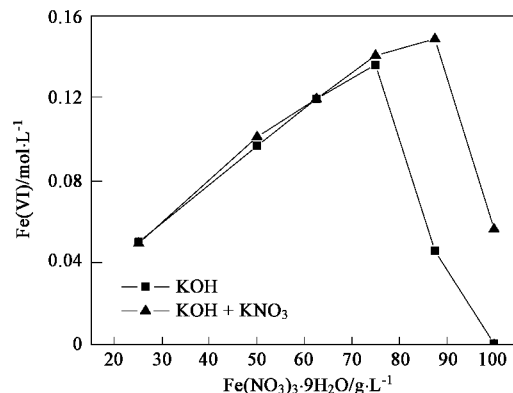
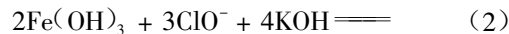
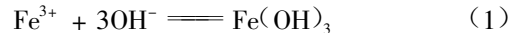


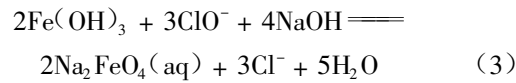
图7 K^+ 在不同硝酸铁投加量下对Fe(VI)浓度的影响

Fig. 7 Effect of K^+ on the concentration of $\text{Fe}(\text{VI})$ at different ferric nitrate dosage

浓度; 而Fe(VI)的分解速率随着Fe(VI)浓度的降低而减缓, 从而有利于Fe(VI)的生成。因此, 实验将反应后的高铁酸盐溶液离心分离, 发现有固体 K_2FeO_4 生成。测定了不同 KNO_3 投加量时反应液离心后离心液和离心固体的体积及Fe(VI)浓度, 如图8、9所示。从图8可以看出, 随着 KNO_3 投加量的增加反应液的总体积增加, 离心液的体积减少、离心固体的体积增加。从图9可以看出, 随着 KNO_3 投加量的增加离心液体中Fe(VI)浓度减少, 离心固体中Fe(VI)浓度增加, 反应液中总的Fe(VI)浓度增加。图8、9证实了增加溶液中 K^+ 浓度, 能使溶液中的 FeO_4^{2-} 与 K^+ 生成 K_2FeO_4 晶体沉淀析出, 并且 K_2FeO_4 固体的量随着 K^+ 浓度的增加而增加; 同时, 离心液中Fe(VI)浓度降低, 从而Fe(VI)的分解速率减缓, 有利于反应向着生成Fe(VI)的方向进行, 见反应式(1)和(2):



对于 Na^+ 反应液, 由于 Fe_2FeO_4 的溶解度远大于 K_2FeO_4 , 生成的Fe(VI)以溶解状态存在于反应液中, 如反应(3)。反应液中Fe(VI)浓度随着反应时间的增加而增大, 而Fe(VI)的分解速率也随着Fe(VI)浓度的增加而增加, 最终导致Fe(VI)的生成浓度较低。实验将 Na^+ 反应液离心分离后也有大量离心固体沉淀, 但加蒸馏水稀释后呈明显Fe(III)的砖红色, 从而说明有大量的Fe(VI)分解为Fe(III)。



此外, 向反应液中加入 KNO_3 后, K^+ 带有正电

荷,溶液中生成的 FeO_4^{2-} 带有负电荷,由于静电作用,K⁺能包裹在 FeO_4^{2-} 周围,同时加入的 NO_3^- 带有负电荷,也能包裹在 Fe^{3+} 周围,从而减少 Fe^{3+} 与 FeO_4^{2-} 的接触,减缓了 Fe^{3+} 对 FeO_4^{2-} 的催化分解作用,提高Fe(VI)产量.

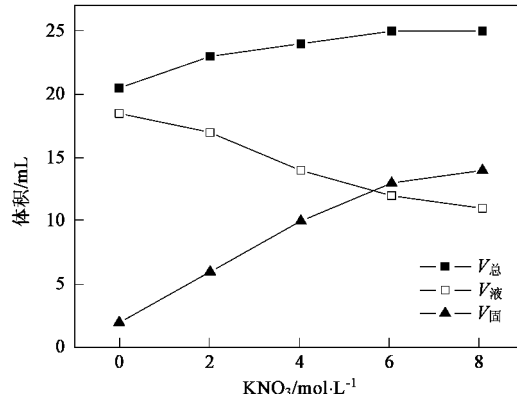


图8 不同 KNO_3 投加量下离心液和离心固体的体积

Fig.8 Volume of centrifugal liquid and solid at different KNO_3 dosage

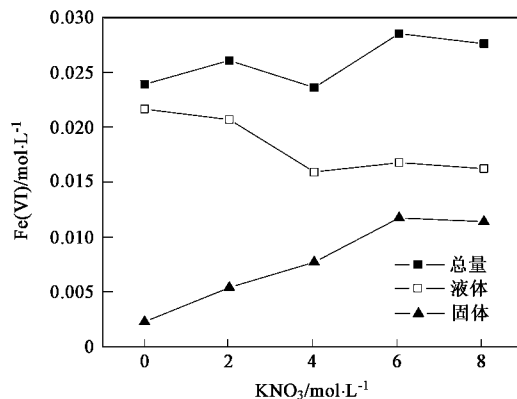


图9 不同 KNO_3 投加量下离心液
和离心固体中Fe(VI)的浓度

Fig.9 Fe(VI) concentration of centrifugal liquid and solid at different KNO_3 dosage

3 结论

(1)反应温度大于50℃时,K⁺比Na⁺更有利于Fe(VI)的生成.

(2)K⁺对高铁酸盐溶液的生成具有稳定促进作用,并且在硝酸铁投加量大于75 g/L、反应温度低于55℃、ClO⁻浓度低于1.16 mol/L时,K⁺对Fe(VI)的生成浓度影响显著.

(3)K⁺能与 FeO_4^{2-} 生成 K_2FeO_4 晶体沉淀析出,降低溶液中 FeO_4^{2-} 浓度;同时 K⁺能包裹在 FeO_4^{2-} 周

围,减少 Fe^{3+} 与 FeO_4^{2-} 接触,减缓 Fe^{3+} 对 FeO_4^{2-} 的催化分解作用.从而Fe(VI)分解速率减缓,稳定性增加,Fe(VI)生成浓度增加.

参考文献:

- [1] Jiang J Q, Lloyd B. Progress in the development and use of ferrate (VI) salt as an oxidant and coagulant for water and wastewater treatment[J]. Water Research, 2002, 36(6): 1397-1408.
- [2] Sharma V K. Potassium ferrate (VI): an environmentally friendly oxidant[J]. Advances in Environmental Research, 2002, 6(2): 143-156.
- [3] Sharma V K. Use of iron(VI) and iron(V) in water and wastewater treatment[J]. Water Science and Technology, 2004, 49(44): 69-74.
- [4] Sharma V K, Kazama F, Hu J, et al. Ferrates (iron(VI) and iron (V)): environmentally friendly oxidants and disinfectants [J]. Journal of Water and Health, 2005, 3(1): 45-58.
- [5] Jiang J Q, Wang S, Panagoulopoulos A. The exploration of potassium ferrate (VI) as a disinfectant/coagulant in water and wastewater treatment[J]. Chemosphere, 2006, 63(2): 212-219.
- [6] 马军,刘伟,盛力,等.腐殖酸对高铁酸钾预氧化除藻效果的研究[J].中国给水排水,2000,16(9):5-8.
- [7] Shi Y, Cai W M, Li G B. Enhanced-coagulation for algae removal from enrich-nourishment water[J]. Journal of Harbin Institute of Technology, 2000, 7(2): 10-12.
- [8] Yuan B L, Li Y B, Huang X D, et al. Fe(VI)-assisted photocatalytic degrading of microcystin-LR using titanium dioxide [J]. Journal of Photochemistry and Photobiology A: Chemistry, 2006, 178(1): 106-111.
- [9] Sharma V K, Chenay B V N. Heterogeneous photocatalytic reduction of Fe(VI) in UV-irradiated titania suspensions: effect of ammonia [J]. Journal of Applied Electrochemistry, 2005, 35(7): 775-781.
- [10] 梁咏梅,刘伟,马军. pH和腐殖酸对高铁酸盐去除水中铅、镉的影响[J].哈尔滨工业大学学报,2003,35(5):545-548.
- [11] Lee Y, Um I H, Yoon J. Arsenic(III) oxidation by iron(VI) (ferrate) and subsequent removal of arsenic(V) by iron(III) coagulation[J]. Environmental Science & Technology, 2003, 37(24): 5750-5756.
- [12] Costaramone N, Kneip A, Castetbon A. Ferrate(VI) oxidation of cyanide in water[J]. Environmental Technology, 2004, 25(8): 945-955.
- [13] Ma J, Liu W. Effectiveness of ferrate (VI) preoxidation in enhancing the coagulation of surface waters[J]. Water Research, 2002, 36(20): 4959-4962.
- [14] Qu J H, Liu H J, Liu S X, et al. Reduction of fulvic acid in drinking water by ferrate[J]. Journal of Environmental Engineering, 2003, 129(1): 17-24.
- [15] Jiang J O, Wang S. Enhanced coagulation with potassium ferrate (VI) for removing humic substance[J]. Environmental Engineering Science, 2003, 20(6): 627-633.
- [16] Graham N, Jiang C C, Li X Z, et al. The influence of pH on the degradation of phenol and chlorophenols by potassium ferrate[J]. Chemosphere, 2004, 56(10): 949-956.

- [17] Lee Y, Yoon J, Gunten U V. Kinetics of the oxidation of phenols and phenolic endocrine disruptors during water treatment with ferrate (Fe(VI)) [J]. Environmental Science & Technology, 2005, **39**(22):8978-8984.
- [18] 姜成春, 李湘中, 庞素艳, 等. 高铁酸盐去除水中氯酚类化合物的研究[J]. 哈尔滨工业大学学报, 2006, **38**(3):476-478.
- [19] Jiang J Q, Panagoulopoulos A, Bauer M, et al. The application of potassium ferrate for sewage treatment[J]. Journal of Environmental Management, 2006, **79**(2): 215-220.
- [20] Lapicque F, Valentin G. Direct electrochemical preparation of solid potassium ferrate[J]. Electrochemistry Communications, 2002, **4**(10):764-766.
- [21] Licht S, Tel-Vered R, Halperin L. Direct electrochemical preparation of solid Fe(VI) ferrate, and super-iron battery compounds[J]. Electrochemistry Communications, 2002, **4**(11): 933-937.
- [22] Koninck M D, Brousse T, Bélanger D. The electrochemical generation of ferrate at pressed iron powder electrodes: effect of various operating parameters[J]. Electrochim Acta, 2003, **48**(10): 1425-1433.
- [23] Ding Z, Yang C C, Wu Q. The electrochemical generation of ferrate at porous magnetite electrode[J]. Electrochimica Acta, 2004, **49**(19):3155-3159.
- [24] Licht S, Yu X W. Electrochemical alkaline Fe(VI) water purification and remediation [J]. Environmental Science & Technology, 2005, **39**(20):8071-8076.
- [25] He W C, Wang J M, Shao H B, et al. Novel KOH electrolyte for one-step electrochemical synthesis of high purity solid K_2FeO_4 : Comparison with NaOH [J]. Electrochemistry Communications, 2005, **7**(6):607-611.